

# Эффект резистивного переключения в мемристорах $\text{TaN}/\text{HfO}_x/\text{Ni}$ с филаментом, сформированным под действием локальной электронно-лучевой кристаллизации

B. A. Воронковский<sup>+1)</sup>, A. K. Герасимова<sup>+</sup>, B. Ш. Алиев<sup>+</sup>\*

<sup>+</sup>Институт физики полупроводников им. А. В. Ржанова Сибирского отделения РАН, 630090 Новосибирск, Россия

\*Новосибирский государственный технический университет, 630073 Новосибирск, Россия

Поступила в редакцию 9 декабря 2022 г.

После переработки 2 марта 2023 г.

Принята к публикации 5 марта 2023 г.

Изучено влияние интенсивного воздействия электронного луча на слой нестехиометрического оксида  $\text{HfO}_x$  ( $x \approx 1.8$ ) в составе мемристора со структурой  $\text{TaN}/\text{HfO}_x/\text{Ni}$  на его электрофизические свойства. Обнаружено, что в результате воздействия в пленке  $\text{HfO}_x$  образуются кристаллические фазы  $h\text{-Hf}$ ,  $m\text{-HfO}_2$ ,  $o\text{-HfO}_2$  и  $t\text{-HfO}_2$ . Установлено, что при определенных значениях флюенса электронов мемристоры демонстрируют резистивное переключение. При этом, по сравнению с необлученными мемристорами, у таких мемристоров в несколько раз меньше величины разброса напряжений резистивного переключения. Кроме того, у них наблюдается кратное снижение разброса напряжений резистивного переключения, а также сопротивлений в низко- и высокоомном состояниях. Вольт-амперные характеристики полученных мемристоров указывают на то, что транспорт заряда в них описывается механизмом тока, ограниченным пространственным зарядом.

DOI: 10.31857/S123456782307011X, EDN: kktpgx

Разработка и оптимизация ячеек ReRAM (мемристоров) до сих пор остается актуальной задачей. Принцип действия мемристора основывается на обратном изменении его сопротивления при подаче напряжения определенной величины и полярности. При первом переключении мемристора осуществляется его формовка, которая завершается образованием в его активном диэлектрическом слое тонкого (диаметром от единиц до десятков нм [1–3]) проводящего филамента, соединяющего электроды мемристора. Формирование филамента при этом может осуществляться либо за счет электродиффузии атомов из электрода мемристора (металлический филамент) [3], либо за счет генерации вакансий кислорода (неметаллический филамент) [1, 2].

Несмотря на большой интерес к тематике ReRAM [4–6], в данной области решение ряда вопросов до сих пор остается актуальным. Одним из таких вопросов является необходимость формовки мемристора, поскольку стохастический характер формовки приводит к невоспроизводимости электрофизическими характеристик мемристоров на одном и том же образце. Кроме того, напряжения формовки могут значительно превышать напряжения последую-

щих переключений, что также является нежелательным. Актуальным также является решение проблемы разброса напряжений переключения состояний и сопротивлений в низко- и высокоомном состояниях от одного цикла резистивного переключения мемристора к другому, которые могут составлять 0.5–1.0 В и 1–2 порядка, соответственно [7, 8]. Данный разброс, по всей видимости, также связан со стохастической природой образования и разрушения филамента. Так, из-за наличия неоднородностей на границе металл/диэлектрик в мемристоре возможно присутствие нескольких мест, в которых концентрируется электрическое поле. В результате, это приводит к одновременному зарождению и разрастанию конкурирующих филаментов под одним общим электродом мемристора [1, 9]. По всей видимости, это и обуславливает нежелательный большой разброс сопротивлений и снижает устойчивость резистивных переключений.

Таким образом, для решения проблем, вытекающих из формовки, необходимо максимально локализовать область диэлектрика, в которой образуется филамент. Известно, что разброс сопротивлений мемристоров в низко- и высокоомном состояниях может быть снижен в несколько раз за счет включения массива металлических наноостровков в объем ди-

<sup>1)</sup>e-mail: voronkovskii@isp.nsc.ru

электрического слоя мемристора [10] либо их включения в межфазную границу металл/диэлектрик [8]. Считается, что это происходит вследствие локального усиления электрического поля в областях диэлектрика с наноструктурами, что способствует более интенсивной генерации вакансий кислорода, участвующих в формировании проводящего филамента.

В данной работе исследуется новый подход, заключающийся в использовании электронного луча для локализации области формирования филамента. Как было показано в нашей работе [11], воздействие электронного луча на пленку  $\text{HfO}_{x<2}$  приводит к образованию в ней кристаллических фаз в локальной области, определяемой пятном от электронного луча диаметром около нескольких десятков нм. В то же время, наши исследования мемристоров со структурой  $\text{TaN}/\text{HfO}_x/\text{Ni}$  показали, что филамент в них имеет неметаллическую природу [12]. В связи с этим можно ожидать, что интенсивное воздействие электронного луча на пленку оксида гафния в составе такого мемристора приведет к полному формированию филамента или, по крайней мере, его затравки. Следовательно, такое воздействие должно привести к локализации области образования филамента. Целью данной работы является исследование возможности локализации формирования проводящего филамента за счет интенсивного воздействия электронного луча в мемристорах со структурой  $\text{TaN}/\text{HfO}_x/\text{Ni}$ .

Для исследований было подготовлено два типа образцов. Образцы первого типа представляли собой пленки нестехиометрического оксида  $\text{HfO}_x$  толщиной около 30 нм на медных подложках с углеродным подслоем и использовались для исследования структурных изменений под действием электронного луча по изображениям с просвечивающего электронного микроскопа (ПЭМ) и картинам дифракции. Слой  $\text{HfO}_x$  наносился методом ионно-лучевого распыления-осаждения (ИЛРО) при парциальном давлении кислорода  $P(\text{O}_2) = 2.4 \cdot 10^{-3}$  Па, находясь внутри диапазона давлений, при которых в мемристорах  $\text{TaN}/\text{HfO}_x/\text{Ni}$  наблюдается эффект резистивного переключения и соответствует  $x \approx 1.81$  [13]. Локальная электронно-лучевая кристаллизация слоя  $\text{HfO}_x$  осуществлялась в камере сканирующего электронного микроскопа (СЭМ) Hitachi SU8220 в области  $50 \times 38 \text{ нм}^2$  электронным лучом с диаметром 1.5 нм, энергией электронов  $E_e = 15 \text{ кэВ}$  при токе эмиссии электронов  $I_e = 1 \text{ нА}$ . Интенсивность воздействия электронного луча на пленку оксида варьировалась за счет изменения продолжительности воздействия  $t = 5, 10$  и 15 мин с отклонением не бо-

лее 5 с. Картинны ПЭМ снимались с помощью TITAN 80–300 CS.

Образцы второго типа имели структуру  $\text{TaN}/\text{HfO}_x/\text{Ni}$  и использовались для изучения транспорта заряда. Слой  $\text{TaN}$  толщиной около 50 нм наносился на подложку  $\text{Si}/\text{SiO}_2$  методом ИЛРО. Слой  $\text{HfO}_x$  наносился тем же методом и при тех же условиях, что и для образцов первого типа. Затем на пленку  $\text{HfO}_x$  в камере СЭМ оказывалось локальное электронно-лучевое воздействие в местах будущего нахождения верхнего массива электродов. Воздействие осуществлялось при тех же условиях, что и для образцов первого типа. Пространственный дрейф облучаемой области из-за зарядки поверхности был существенно минимизирован за счет электрического контакта прижимной лапки, поддерживающей образец на держателе СЭМ, с нижним  $\text{TaN}$  электродом образца. Поверхность оксидного слоя после локального электронно-лучевого воздействия также была просканирована с использованием атомно-силового микроскопа (АСМ) NT-MDT Solver Pro в полуконтактном режиме. Радиус закругления зонда АСМ не превышал 10 нм. На завершающем этапе изготовления этих образцов на них методом электронно-лучевого испарения наносился массив  $\text{Ni}$  электродов толщиной 50 нм. Для этого использовался специальный держатель образца, который обеспечивал совмещение областей слоя  $\text{HfO}_x$ , подвергавшихся электронно-лучевому воздействию, с будущими  $\text{Ni}$  электродами. Вольт-амперные характеристики (ВАХ) образцов измерялись с помощью анализатора полупроводниковых приборов Agilent B1500A.

Длительность воздействия электронного луча на слой оксида выбиралась из следующих соображений. В нашей предыдущей работе, в которой изучалось локальное воздействие на пленку  $\text{HfO}_x$  электронного луча ПЭМ [11], были определены условия, при которых в ней появляются первые признаки кристаллизации. Из этих условий по формуле (1) была определена минимальная необходимая величина флюенса электронов  $\Phi_{\min} = 1.9 \cdot 10^{22} \text{ см}^{-2}$ . При облучении минимальной доступной области в СЭМ размером  $50 \times 38 \text{ нм}^2$  в течение 5 мин, величина флюенса электронов составляет  $9.9 \cdot 10^{22} \text{ см}^{-2}$ , что, таким образом, превышает минимальный необходимый порог для начала кристаллизации. Соответственно, для времени облучения 10 мин  $\Phi = 2.0 \cdot 10^{23} \text{ см}^{-2}$ , а 15 мин –  $3.0 \cdot 10^{23} \text{ см}^{-2}$ .

$$\Phi = \frac{N_e}{S} = \frac{I_e t}{q S}, \quad (1)$$

где  $\Phi$  – флюенс электронов,  $N_e$  – количество электронов, прошедших через площадку площадью  $S$  за время  $t$ ,  $I_e$  – ток эмиссии электронов,  $q$  – заряд электрона.

Важно отметить, что энергии  $E_e = 15$  кэВ в СЭМ, по нашим оценкам, достаточно для полного прохождения электронами слоя оксида толщиной 30 нм. Вопрос глубины проникновения электронов в мишень нетривиальный, однако ее можно грубо оценить по формуле Канайя–Окаямы [14] (2). В свою очередь, это позволяет оценить диффузионную длину падающих электронов в твердом теле (3), которая для такой величины энергии составила 224 нм.

$$R = \frac{3E_e^{5/3}}{5K_e N Z^{8/9}}, \quad (2)$$

$$x_D = \frac{R}{1 + 0.183Z^{2/3}}, \quad (3)$$

где  $R$  – максимальная глубина проникновения падающих электронов в мишень,  $E_e$  – энергия падающих электронов (в эВ),  $N$  – количество атомов в единице объема мишени,  $Z$  – атомный номер материала мишени,  $x_D$  – диффузионная длина падающих электронов.

Как следует из полученных ПЭМ-изображений пленки  $\text{HfO}_x$  на медной сетке с углеродным подслоем, при всех использованных значениях  $\Phi$  в облучавшихся электронным лучом участках присутствуют признаки кристаллизации. В то же время, в других областях пленки оксида гафния признаков наличия кристаллических фаз не обнаружено. На рисунке 1а представлено ПЭМ-изображение участка пленки  $\text{HfO}_x$ , облучавшегося при  $\Phi = 3.0 \cdot 10^{23} \text{ см}^{-2}$ . Ана-

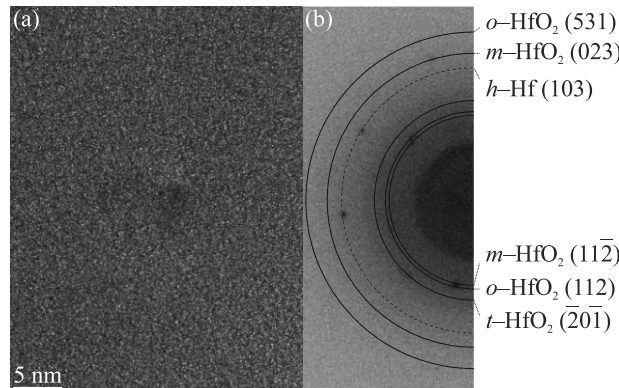


Рис. 1. (а) – ПЭМ-изображение области пленки  $\text{HfO}_x$ , подвергнутой воздействию электронного луча с  $\Phi = 3.0 \cdot 10^{23} \text{ см}^{-2}$  ( $t = 15$  мин), и соответствующая картина дифракции (б)

лиз дифракционных паттернов пленки  $\text{HfO}_x$  в участках, подвергавшихся воздействию электронного луча, указывает на образование кристаллических фаз  $h\text{-Hf}$ , а также  $m\text{-HfO}_2$ ,  $o\text{-HfO}_2$  и  $t\text{-HfO}_2$  (рис. 1б). Отметим, что полученный результат, в целом, совпадает с полученным нами ранее результатом при облучении пленки оксида гафния электронным лучом в ПЭМ [11].

Анализ полученных с использованием АСМ данных показал, что максимальное отклонение высоты рельефа слоя  $\text{HfO}_x$  в областях, подвергавшихся локальному электронно-лучевому воздействию, не превышает 3 нм.

ВАХ мемристоров, полученных при различных величинах  $\Phi$ , представлены на рис. 2а–с. Для всех

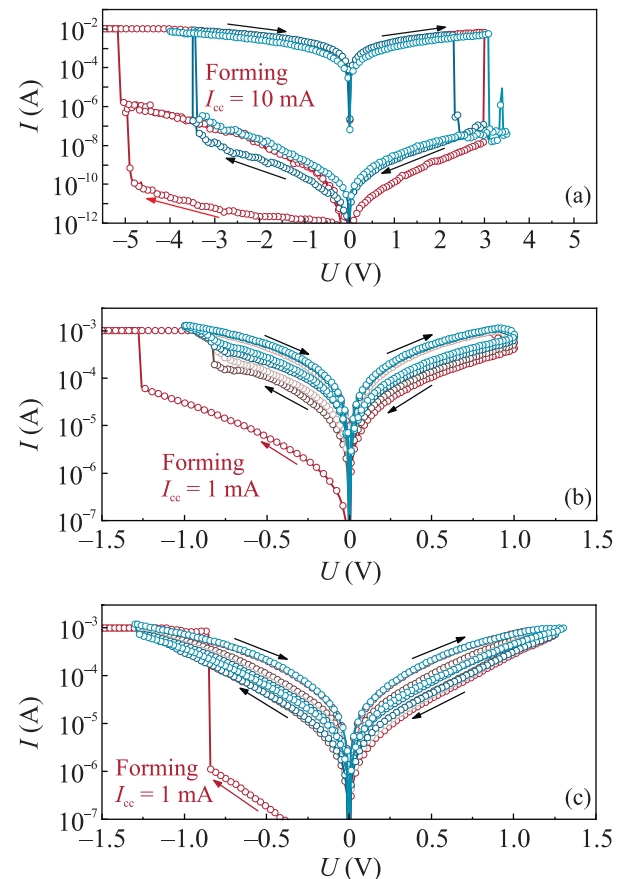


Рис. 2. (Цветной онлайн) ВАХ формовки и резистивного переключения мемристоров  $\text{TaN}/\text{HfO}_x/\text{Ni}$ , полученных при  $\Phi = 0$  (а),  $2.0 \cdot 10^{23} \text{ см}^{-2}$  (б) и  $3.0 \cdot 10^{23} \text{ см}^{-2}$  (с). Стрелками показано направление развертки напряжения

мемристоров требовалось провести формовку, однако напряжение формовки было достаточно близким к напряжению переключения из высокоомного состояния в низкоомное. В ходе формовки для предотвра-

щения необратимого пробоя мемристоров устанавливалось ограничение по максимальному току  $I_{cc}$ . Можно видеть, что ВАХ мемристора с  $\Phi = 0$  (не подвергавшегося облучению) имеют типичный вид для мемристоров с биполярным переключением состояний, а напряжения резистивного переключения из высокоомного состояния в низкоомное ( $U_{SET}$ ) и обратно ( $U_{RESET}$ ) составляют около  $\pm 3.5$  В. Необходимо отметить, что мемристоры с  $\Phi = 0$  на исследованном образце не демонстрировали устойчивого резистивного переключения и после нескольких циклов резистивного переключения выходили из строя. Мемристоры, полученные при  $\Phi = 9.9 \cdot 10^{22} \text{ см}^{-2}$ , не демонстрировали эффект резистивного переключения, однако их сопротивление составляло порядка нескольких кОм, что намного ниже значения для исходной пленки  $\text{HfO}_x$  (рис. 2а). В то же время, мемристоры с  $\Phi = 2.0 \cdot 10^{23} \text{ см}^{-2}$  и  $3.0 \cdot 10^{23} \text{ см}^{-2}$  демонстрировали эффект резистивного переключения, причем для них напряжение формовки и напряжение  $U_{SET}$  достаточно близки, а напряжения переключения состояний в различных циклах резистивного переключения практически не отличаются друг от друга (рис. 2б, с). Кроме того, низкие значения напряжений переключения в диапазоне 1.0–1.5 В ранее нами не достигались ни при каких значениях величины  $x$  для пленки оксида гафния толщиной 30 нм и меньше типичных значений примерно в 2–3 раза [13]. Несмотря на то, что отношение токов в низкоомном и высокоомном состояниях для мемристоров с  $\Phi = 2.0 \cdot 10^{23} \text{ см}^{-2}$  и  $3.0 \cdot 10^{23} \text{ см}^{-2}$  невелико, наблюдаемый эффект изменения проводимости при подаче напряжения определенной величины и полярности связан именно с эффектом резистивного переключения, а не разогревом. При повторных измерениях ВАХ после переключения этих мемристоров в низкоомное либо высокоомное состояние получаемые кривые ВАХ полностью совпадали с измеренными ранее для этих состояний.

Сравнение функций распределения напряжений  $U_{SET}$  и  $U_{RESET}$ , а также сопротивлений в низко- и высокоомном состояниях ( $R_{ON}$  и  $R_{OFF}$ , соответственно) для мемристора с  $\Phi = 2.0 \cdot 10^{23} \text{ см}^{-2}$  и необлучавшегося мемристора  $\text{TaN}/\text{HfO}_x/\text{Ni}$  из нашей предыдущей работы [13] с  $x = 1.81$ , представлено на рис. 3. Видно, что мемристоры на основе пленок  $\text{HfO}_x$ , облучавшихся электронным пучком, демонстрируют значительное уменьшение разброса напряжений переключения состояний и сопротивлений по сравнению с мемристорами на основе пленок, не подвергавшихся такому воздействию. Так, благодаря использованию электронно-лучевого воздействия, относи-

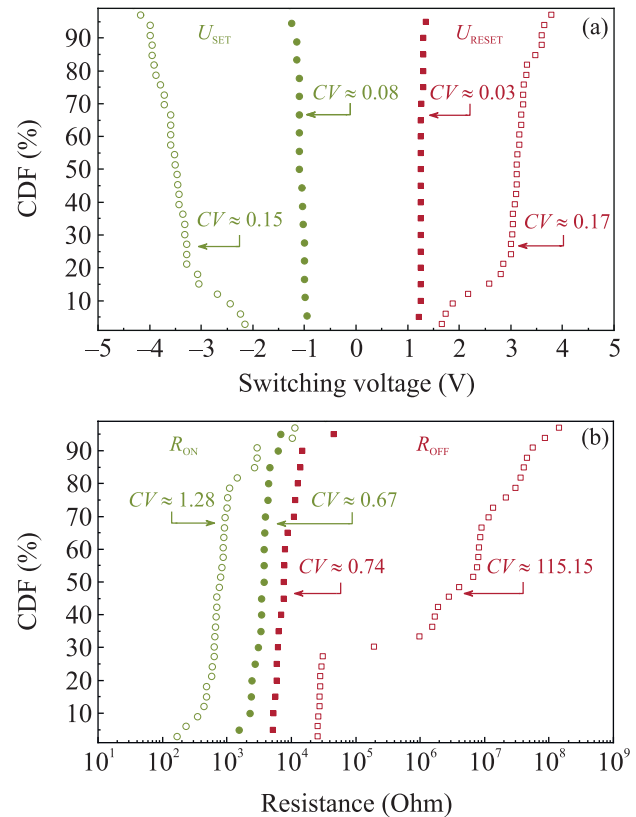


Рис. 3. (Цветной онлайн) Функции распределения напряжений переключения (а) и сопротивлений (б) мемристоров  $\text{TaN}/\text{HfO}_x/\text{Ni}$  ( $x = 1.81$ ), слой оксида которых подвергался воздействию электронного луча при  $\Phi = 2.0 \cdot 10^{23} \text{ см}^{-2}$  ( $t = 10$  мин) и без него (сплошные и пустые точки, соответственно)

тельное среднеквадратичное отклонение  $CV$  (отношение среднеквадратического отклонения к математическому ожиданию) величин напряжений  $U_{SET}$  и  $U_{RESET}$  снизилось в  $\approx 2$  и  $\approx 6$  раз, соответственно, сопротивлений  $R_{ON}$  – в  $\approx 2$  раза, а  $R_{OFF}$  – на 2 порядка.

Тот факт, что в полученном образце без воздействия электронного луча мемристоры переключаются лишь малое количество раз, объясняется следующим образом. Вид ВАХ таких мемристоров весьма близок к виду ВАХ мемристоров  $\text{TaN}/\text{HfO}_x/\text{Ni}$  с  $x = 1.81$ , изученных нами ранее [13]. При этом  $x = 1.81$  является границей диапазона величин  $x$ , при которых наблюдается резистивное переключение. По всей видимости, полученная в настоящей работе пленка  $\text{HfO}_x$  имеет  $x$ , слегка выходящий за рамки этого диапазона, что и объясняет малое количество циклов резистивного переключения.

На рисунке 4а представлены экспериментальные ВАХ мемристора, полученного с использованием

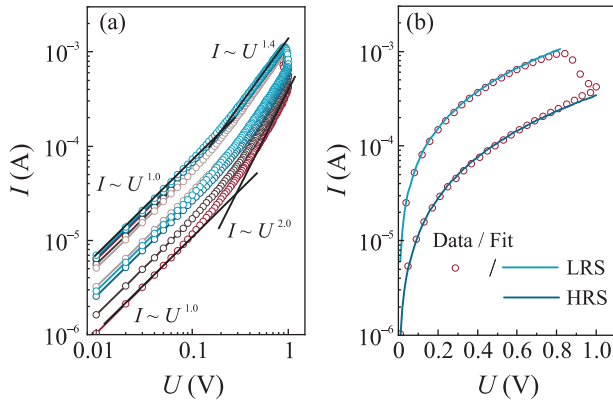


Рис. 4. (Цветной онлайн) (а) – ВАХ мемристора  $\text{TaN}/\text{HfO}_x/\text{Ni}$ , полученного под воздействием электронного луча при  $\Phi = 2.0 \cdot 10^{23} \text{ см}^{-2}$  ( $t = 10$  мин), в двойном логарифмическом масштабе (б) – аппроксимация его экспериментальных ВАХ (точки) для низко- и высокоомного состояний (LRS и HRS, соответственно) модельными (линии)

электронно-лучевого воздействия при  $\Phi = 2.0 \times 10^{23} \text{ см}^{-2}$ , в двойном логарифмическом масштабе. Как можно видеть, в обоих состояниях мемриста ВАХ при малых напряжениях являются линейными, а по мере увеличения напряжения становятся квадратичными. Аналогичный характер ВАХ наблюдался нами для мемристоров со структурой  $\text{TaN}/\text{HfO}_x/\text{Ni}$ , слой оксида которых не подвергался воздействию электронного луча [12]. Как было установлено, транспорт заряда в таком случае описывается механизмом тока, ограниченного пространственным зарядом (ТОПЗ). При этом, проводимость мемриста определяется полупроводниковым филаментом с диаметром  $d_f$  с некоторой концентрацией донороподобных дефектов  $N_d$  и мелких ловушек для носителей заряда  $N_t$ . При переключении состояний происходит изменение величин  $d_f$ ,  $N_d$  и  $N_t$ , а также степени заполнения ловушек. В низкоомном состоянии транспорт заряда в мемристе описывается механизмом ТОПЗ в режиме полностью заполненных ловушек, а в высокоомном – механизмом ТОПЗ в режиме частично заполненных ловушек. Такая модель проводимости подробно описана и изучена нами в работе [12]. Учитывая качественное сходство ВАХ и аналогичную структуру мемриста в данной работе, ВАХ мемристоров, подвергавшихся электронно-лучевому воздействию можно описать в рамках описанной выше модели.

Как видно из рис. 4б, ВАХ, рассчитанные в рамках механизма ТОПЗ для мемриста с  $\Phi = 2.0 \times 10^{23} \text{ см}^{-2}$  при комнатной температуре, имеют хорошее согласие с экспериментальными данными.

При аппроксимации ВАХ как низкоомного состояния, так и высокоомного, значения для эффективной массы электрона, подвижности и диэлектрической проницаемости были одинаковыми и составляли  $m^* = 0.42 m_0$  (где  $m_0$  – масса электрона),  $\mu = 40 \text{ см}^2/(\text{В} \cdot \text{с})$  и  $\epsilon = 40$ . ВАХ в низкоомном состоянии аппроксимировалась моделью ТОПЗ в режиме полностью заполненных ловушек. При этом использовались следующие значения параметров:  $d_f = 135 \text{ нм}$ ,  $N_d = 2.0 \cdot 10^{19} \text{ см}^{-3}$  и энергия ионизации донороподобного дефекта  $E_c - E_d = 90 \text{ мэВ}$ . В высокоомном состоянии ВАХ аппроксимировалась в рамках модели ТОПЗ в режиме частично заполненных ловушек при значениях параметров  $d_f = 96 \text{ нм}$ ,  $N_d = 8.0 \cdot 10^{18} \text{ см}^{-3}$ ,  $E_c - E_d = 130 \text{ мэВ}$ , энергии ионизации ловушек  $E_c - E_t = 40 \text{ мэВ}$  и их концентрации  $N_t = 1.0 \cdot 10^{18} \text{ см}^{-3}$ . Полученные значения параметров достаточно близки к полученным ранее для мемристоров без электронно-лучевого воздействия [12]. По сравнению с такими мемристорами, у мемриста с  $\Phi = 2.0 \cdot 10^{23} \text{ см}^{-2}$  примерно в два раза выше концентрация донороподобных дефектов как в низкоомном, так и высокоомном состояниях. Кроме того, в высокомом состоянии у мемриста с  $\Phi = 2.0 \cdot 10^{23} \text{ см}^{-2}$  примерно на один порядок ниже концентрация ловушек  $N_t$ , из-за чего его проводимость в данном состоянии достаточно высокая. К другим важным отличиям можно отнести отнести высокое значение  $\epsilon = 40$  (против 18 в мемристоре, полученном без локальной электронно-лучевой кристаллизации) и значение  $d_f$  для высокоомного состояния (96 нм против 35 нм и меньше). Высокое значение  $\epsilon$  можно объяснить следующим образом. Как следует из полученных нами картин дифракции, в области локальной электронно-лучевой кристаллизации присутствует металлическая  $\text{Hf}$  фаза. Поскольку такая область играет роль затравки для филамента мемриста, в объем филамента будут включены металлические кластеры. В свою очередь, за счет этого диэлектрическая проницаемость филамента будет высокой. Большой поперечный размер филамента в высокоомном состоянии связан, по-видимому, с большим размером затравки для филамента, сформированной в ходе локальной электронно-лучевой кристаллизации.

Таким образом, установлено, что воздействие электронного луча СЭМ на пленку  $\text{HfO}_x$  приводит к рождению кристаллических фаз  $h-\text{Hf}$ ,  $m-\text{HfO}_2$ ,  $o-\text{HfO}_2$  и  $t-\text{HfO}_2$  в области, размер которой определяется областью сканирования. Получаемые с таким воздействием мемристоры со структурой  $\text{TaN}/\text{HfO}_x/\text{Ni}$  демонстрируют кратно меньший

разброс относительного среднеквадратичного отклонения напряжений резистивного переключения  $U_{\text{SET}}$  и  $U_{\text{RESET}}$  ( $\approx 2$  и  $\approx 6$  раз, соответственно) и сопротивлений  $R_{\text{ON}}$  и  $R_{\text{OFF}}$  (в два раза  $\approx 2$  и на  $\approx 2$  порядка, соответственно), по сравнению с мемристорами с аналогичной структурой без такого воздействия. Учитывая, что локальная электронно-лучевая кристаллизация не приводит к существенному изменению толщины оксидного слоя, наблюдаемый эффект уменьшения разброса электрофизических характеристик связан именно с локализацией области образования филамента за счет образования его затравки в объеме данного слоя. При этом механизм транспорта в таких мемристорах остается прежним и описывается механизмом ТОПЗ.

Работа поддержана Министерством науки и высшего образования Российской Федерации.

Авторы выражают благодарность Ю. А. Живодкову за проведение работ по электронно-лучевому воздействию в камере СЭМ Hitachi SU8220, А. К. Гутаковскому за полученные ПЭМ-изображения, снятые на TITAN 80-300 CS (Центр коллективного пользования “Наноструктуры”, ИФП СО РАН, Новосибирск) и А. И. Иванову за осуществление ACM-исследований.

- 
1. D. H. Kwon, K. M. Kim, J. H. Jang, J. M. Jeon, M. H. Lee, G. H. Kim, X. S. Li, G. S. Park, B. Lee,

- S. Han, M. Kim and C. S. Hwang, Nat. Nanotechnol. **5**, 148 (2010).
2. F. Miao, J. P. Strachan, J. J. Yang, M. X. Zhang, I. Goldfarb, A. C. Torrezan, P. Eschbach, R. D. Kelley, G. Medeiros-Ribeiro, and R. S. Williams, Adv. Mater. **23**, 5633 (2011).
3. Q. Liu, J. Sun, H. Lv, S. Long, K. Yin, N. Wan, Y. Li, L. Sun, and M. Liu, Adv. Mater. **24**, 1844 (2012).
4. I. Valov, Semicond. Sci. and Technol. **32**, 093006 (2017).
5. Y. Zhang, Z. Wang, J. Zhu, Y. Yang, M. Rao, W. Song, Y. Zhuo, X. Zhang, M. Cui, L. Shen, and R. Huang, Appl. Phys. Lett. **7**, 011308 (2020).
6. Y. Y. Chen, IEEE T. Electron. Dev. **67**, 1420 (2020).
7. A. Hardtdegen, H. Zhang, and S. Hoffmann-Eifert, ECS Transactions **75**, 177 (2016).
8. J. Wang, L. Li, H. Huyan, X. Pan, and S. S. Nonnenmann, Adv. Funct. Mater. **29**, 1808430 (2019).
9. E. Wu, T. Ando, Y. Kim, R. Muralidhar, E. Cartier, P. Jamison, M. Wang, and V. Narayanan, Appl. Phys. Lett. **116**, 082901 (2020).
10. P. Bousoulas and D. Tsoukalas, Int. J. High Speed Electron. Syst. **25**, 1640007 (2016).
11. A. K. Gerasimova, V. S. Aliev, G. K. Krivyakin, and V. A. Voronkovskii, SN Appl. Sci. **2**, 1 (2020).
12. V. A. Voronkovskii, V. S. Aliev, A. K. Gerasimova, and D. R. Islamov, Mat. Res. Express **6**, 076411 (2019).
13. V. A. Voronkovskii, V. S. Aliev, A. K. Gerasimova, and D. R. Islamov, Mat. Res. Express **5**, 016402 (2018).
14. K. A. Kanaya and S. Okayama, J. Phys. D: Appl. Phys. **5**, 43 (1972).